

# 地球物理學報

第 5 卷      第 1 期

1956

中国地球物理学会編輯  
科学出版社出版

# 地球物理学报

第5卷 第1期

## 目 录

对三層電測深曲綫等值原則証明的一些補充.....	章 冠 人(1)
論圓環組合爆炸在反射法地震勘探中的應用.....	馬 恩 澤(9)
介質的磁化率與包裹體形狀的關係.....	熊 光 楚(21)
根據測得的重力值決定均勻三軸橢球體的位置、深度及其大 小的一個方法.....	李 業 緒(33)
論地面流.....	黃 万 里(37)
論降雨集流.....	黃 万 里(51)
關於黃萬里先生的評述者們的意見.....	編 者(76)

# 对三層電測深曲綫等值原則 證明的一些補充\*

章 冠 人

(東北地質學院)

## 引 言

一般三層電測深曲綫，當中間層厚度很小時，視電阻率曲綫的形狀不單獨和中間層的電阻率  $\rho_2$  或厚度  $h_2$  直接發生關係，而決定於其縱向導電率  $S_2 = \frac{h_2}{\rho_2}$  (當  $\rho_1 > \rho_2 < \rho_3$ ) 或橫向電阻率  $T_2 = h_2 \rho_2$  (當  $\rho_1 < \rho_2 > \rho_3$ )。從達赫諾夫“石油與天然氣的電法勘探”一書中，我們可以看到這證明。為了使問題的提出更清楚起見，現將其證明作一扼要的敘述；這證明利用了由三層問題中點電源在地面上產生的電位公式

$$U_1 = \frac{\rho_1 I}{2\pi r} + \int_0^\infty 2B_1(m) J_0(mr) dm. \quad (1)$$

其中  $B_1(m) = q \frac{k_{12}e^{-2mh_2} + k_{23}e^{-2mh_3}}{1 - k_{12}e^{-2mh_2} - k_{23}e^{-2mh_3} + k_{12}k_{23}e^{-2m(H_3 - H_1)}}$  (2)

式中  $q = \frac{\rho_1 I}{2\pi r}$ ,  $k_{12} = \frac{\rho_2 - \rho_1}{\rho_2 + \rho_1}$ , 及  $k_{23} = \frac{\rho_3 - \rho_2}{\rho_3 + \rho_2}$ ,  $H_1 = h_1$  及  $H_3 = h_1 + h_2$ ,

由於  $\rho_2, h_2$  僅包括在  $B_1(m)$  內，故證明中僅討論了  $B_1(m)$  和它們的關係。在證明中，當  $h_2 \ll h_1$ ,  $\rho_2 \ll \rho_1$ ,  $\rho_2 \ll \rho_3$  時，又利用了下列近似關係：

$$e^{-2m(h_1 + h_2)} \approx e^{-2mh_1} e^{-2mh_2} \approx e^{-2mh_1} (1 - 2mh_2), \quad (3)$$

$$k_{12} = \frac{\rho_2 - \rho_1}{\rho_2 + \rho_1} \approx \frac{2\rho_2}{\rho_1} - 1, \quad (4)$$

及  $k_{23} = \frac{\rho_3 - \rho_2}{\rho_3 + \rho_2} \approx 1 - \frac{2\rho_2}{\rho_3}, \quad (5)$

將(3)(4)及(5)代入  $B_1(m)$  簡化後得：

$$B_1(m) = q e^{-2mh_1} \frac{\rho_3 - \rho_1 - m \rho_1 \rho_3 S_2}{(\rho_3 - \rho_1 - m \rho_3 \rho_1 S_2) e^{-2mh_1} + \rho_3 - \rho_1 + m \rho_1 \rho_3 S_2}, \quad (6)$$

因而書中得出結論當  $h_2 \ll h_1$  及  $\rho_2 \ll \rho_1$ ,  $\rho_2 \ll \rho_3$  時  $B_1(m)$  僅和  $S_2$  有關。在

\* 1956年1月14日收到。

另一种情形。

当  $\rho_2 \gg \rho_1, \rho_2 \gg \rho_3$  及  $h_2 \ll h_1$  时证明中利用了下列近似关系：

$$e^{-2mh_1 + h_2} \approx e^{-2mh_1}(1 - 2mh_2), \quad (7)$$

$$k_{12} = \frac{\rho_2 - \rho_1}{\rho_2 + \rho_1} \approx 1 - \frac{2\rho_1}{\rho_2}, \quad (8)$$

$$k_{23} = \frac{\rho_3 - \rho_2}{\rho_3 + \rho_2} \approx \frac{2\rho_2}{\rho_2} - 1. \quad (9)$$

将(7)(8)及(9)代入  $B_1(m)$  简化后得：

$$B_1(m) = q e^{-2mh_1} \frac{\rho_3 - \rho_1 + mT_2}{(\rho_1 - \rho_3 - mT_2)e^{-2mh_1} + \rho_1 + \rho_3 + mT_2}. \quad (10)$$

因而书中得出结论， $B_1(m)$  当  $\rho_2 \gg \rho_1, \rho_2 \gg \rho_3$  及  $h_2 \ll h_1$  时，仅和  $T_2$  有关。

显然在上述证明中，可以看出(3)式和(7)式的依指数级数展开，忽略其高次项，仅当  $2mh_2$  很小时方能成立，然在(1)式中可以看出  $m$  是在从 0 到  $\infty$  的范围内变化，而  $h_2$  并不是很小而近于零的数值。显然这近似关系是缺乏足够的理由的。由于该方面的文献，国内尚未见到，本文的目的就是要证明这近似关系仅在当电极距足够大时，方能成立。等值原则仅是根据视电阻率曲线的右部存在这一关系而提出的，因此  $S_2$  或  $T_2$  的不变仅是使整个视电阻率曲线不变的必要条件，并不是充分的条件。

### 几个数学定理的证明

为了说明我们的问题，首先必须证明几个数学定理：

**定理 I** 如  $\int_a^b B(m) dm$  存在（如其为广义积分）并绝对收敛，则当  $r$  趋近无穷大时，

$$\lim_{r \rightarrow \infty} \int_a^b B(m) J_0(mr) dm = 0$$

其中  $b$  和  $a$  为任二不等于零的正数。

**証** 首先我们假定  $B(m)$  在  $(a, b)$  内是有界的，在这种情形，假设  $|B(m)|$  的上界是  $K$ ，并假定  $\epsilon$  是任一正数，将  $(a, b)$  范围划分为  $n$  部分，其间的点为  $m_1, m_2, \dots, m_{n-1}$ ，并对函数构成下列和：

$$S_n = U_1(m_1 - a) + U_2(m_2 - m_1) + \dots + U_n(b - m_{n-1}),$$

$$s_n = L_1(m_1 - a) + L_2(m_2 - m_1) + \dots + L_n(b - m_{n-1}).$$

式中  $U_i$  及  $L_i$  是  $B(m)$  在间隔  $(m_{i-1}, m_i)$  间的上界和下界，我们将  $n$  取得这样大，使  $S_n - s_n < \epsilon$ ；这是可能的，因为  $B(m)$  是可积的。

在间隔  $(m_{i-1}, m_i)$  内，将  $B(m)$  写成：

$$B(m) = B_t(m_{t-1}) + w_t(m),$$

这样  $|w_t(m)| \leq U_t - L_t$ ,

显然

$$\begin{aligned} \left| \int_a^b B(m) J_0(mr) dm \right| &= \left| \sum_{t=1}^n B_t(m_{t-1}) \int_{m_{t-1}}^{m_t} J_0(mr) dm + \right. \\ &\quad \left. + \sum_{t=1}^n \int_{m_{t-1}}^{m_t} w_t(m) J_0(mr) dm \right| \leq \\ &\leq \left| \sum_{t=1}^n B_t(m_{t-1}) \int_{m_{t-1}}^{m_t} J_0(mr) dm \right| + \\ &\quad \left. + \left| \sum_{t=1}^n \int_{m_{t-1}}^{m_t} w_t(m) J_0(mr) dm \right|, \right. \end{aligned} \quad (11)$$

因为  $J_0(mr) < 1$  故(11)式变为：

$$\begin{aligned} \left| \int_a^b B(m) J_0(mr) dm \right| &\leq \left| \sum_{t=1}^n K \int_{m_{t-1}}^{m_t} J_0(mr) dm \right| \\ &\quad + \left| \sum_{t=1}^n \int_{m_{t-1}}^{m_t} w_t(m) dm \right|. \end{aligned} \quad (12)$$

$$\text{由于在 } r \text{ 很大时 } J_0(mr) \approx \sqrt{\frac{2}{\pi mr}} \cos\left(mr - \frac{\pi}{4}\right) + O[(mr)^{-\frac{3}{2}}], \quad (13)$$

我們可以將  $r$  取得如此之大，使(12)式左边仍小于右边用(13)式代替后的表达式，这是可以的，因為我們可以任意增大  $r$ ，以使漸近式逐漸接近于  $J_0(mr)$  的真值。則我們可以得到：

$$\begin{aligned} \left| \int_a^b B(m) J_0(mr) dm \right| &\leq \left| \sum_{t=1}^n K \int_{m_{t-1}}^{m_t} \sqrt{\frac{2}{\pi mr}} \cos\left(mr - \frac{\pi}{4}\right) dm \right| + \\ &\quad + \left| \sum_{t=1}^n \int_{m_{t-1}}^{m_t} w_t(m) dm \right|. \end{aligned} \quad (14)$$

我們先來討論(14)式右边第一項，由部分积分

$$\begin{aligned} \left| \sum_{t=1}^n K \int_{m_{t-1}}^{m_t} \sqrt{\frac{2}{\pi mr}} \cos\left(mr - \frac{\pi}{4}\right) dm \right| &\leq \left| \sum_{t=1}^n K \sqrt{\frac{2}{\pi mr}} \frac{\sin\left(mr - \frac{\pi}{4}\right)}{r} \Big|_{m_{t-1}}^{m_t} \right| + \\ &\quad + \left| \sum_{t=1}^n K \int_{m_{t-1}}^{m_t} \frac{1}{2} \sqrt{\frac{2}{\pi}} \frac{1}{(rm)^{\frac{3}{2}}} \sin\left(mr - \frac{\pi}{4}\right) dm \right| \leq \left| K \sqrt{\frac{2}{\pi mr}} \frac{1}{r} \Big|_a^b \right| + \end{aligned}$$

$$\begin{aligned}
 & + \left| \sum_{t=1}^n K \int_{m_{t-1}}^{m_t} \frac{1}{2} \sqrt{\frac{2}{\pi}} \frac{1}{(rm)^{3/2}} dm \right| \leq \left| K \sqrt{\frac{2}{\pi rm}} \frac{1}{r} \right|_a^b + \\
 & + \left| \sum_{t=1}^n K \sqrt{\frac{2}{\pi rm}} \frac{1}{r} \right|_{m_{t-1}}^{m_t} \leq \left| K \sqrt{\frac{2}{\pi rm}} \frac{1}{r} \right|_a^b + \left| K \sqrt{\frac{2}{\pi rm}} \frac{1}{r} \right|_a^b \leq \\
 & \leq 2K \left( \sqrt{\frac{2}{\pi br}} \frac{1}{r} - \sqrt{\frac{2}{\pi ar}} \frac{1}{r} \right) < 2\epsilon. \tag{15}
 \end{aligned}$$

显然只要  $a, b$  不等于零, 上式总可以使  $r$  取得足够大, 使其小于  $2\epsilon$ 。并且从这里也可看出当  $a$  或  $b$  趋近无穷大时, 上式更为正确。故(14)式的第一项小于  $2\epsilon$ 。

其次討論(14)式的右边第二項, 由于  $\int_a^b B(m) dm$  存在, 并且  $n$  取得这样大使  $S_n - s_n < \epsilon$ , 則

$$\left| \sum_{t=1}^n \int_{m_{t-1}}^{m_t} w_t(m) dm \right| \leq S_n - s_n < \epsilon. \tag{16}$$

將(15)和(16)代入(14), 最后得:

$$\int_a^b B(m) J_0(mr) dm < 3\epsilon.$$

故

$$\lim_{r \rightarrow \infty} \int_a^b B(m) J_0(mr) dm = 0.$$

假如  $B(m)$  是無界的, 如  $\int_a^b B(m) dm$  存在并絕對收斂, 則我們根據這條件, 可以將這些使  $B(m)$  無界的點, 包在一有限幾個間隔  $a_1, a_2, \dots, a_p$  中, 以使

$$\sum_{t=1}^p \left| \int_{a_t} B(m) dm \right| < \epsilon.$$

假使  $K$  表示  $|B(m)|$  在這些間隔之外的上界, 這些間隔之外的間隔, 我們用  $r_1, r_2, \dots, r_{p+1}$  表示之, 我們可以用同样的方法証明:

$$\begin{aligned}
 \left| \int_a^b B(m) J_0(mr) dm \right| & = \left| \sum_{t=1}^{p+1} \int_{r_t} B(m) J_0(mr) dm + \sum_{t=1}^p \int_{a_t} B(m) J_0(mr) dm \right| \leq \\
 & \leq \left| \sum_{t=1}^{p+1} \int_{r_t} B(m) J_0(mr) dm \right| + \\
 & + \left| \sum_{t=1}^p \int_{a_t} B(m) J_0(mr) dm \right| \leq 3\epsilon + \epsilon \leq 4\epsilon. \tag{17}
 \end{aligned}$$

因而即使  $B(m)$  是無限的, 只要  $\int_a^b B(m) dm$  存在并絕對收斂,

$$\lim_{r \rightarrow \infty} \int_a^b B(m) J_0(mr) dm = 0.$$

其中  $b, a$  为任二不等于零的正数。

**定理 II** 如  $\int_a^{\infty} B(m) dm$  存在(如其为广义积分)并绝对收敛, 则当  $r \rightarrow \infty$  时

$$\lim_{r \rightarrow \infty} \int_a^{\infty} B(m) J_0(mr) dm = 0 \quad (18)$$

其中  $a$  为任一不等于零的正数。

証 由于在上述証明中, 如将  $b$  趋近无穷大, 由于如  $\int_a^{\infty} B(m) dm$  存在并绝对收敛, 不等式 (15) (16) 当  $n \rightarrow \infty$  时仍旧可以成立, (17) 式也是一样。故

$$\lim_{r \rightarrow \infty} \int_a^{\infty} B(m) J_0(mr) dm = 0,$$

只要  $a$  是不等于零的正数。

**定理 III** 如  $\int_0^{\infty} B(m) dm$  存在(如其为广义积分)并绝对收敛, 则当  $r \rightarrow \infty$  时

$$\lim_{r \rightarrow \infty} \int_0^{\infty} B(m) J_0(mr) dm = \lim_{r \rightarrow \infty} \int_0^a B(m) J_0(mr) dm. \quad (19)$$

其中  $a$  为任一不等于零的正数,  $a$  的允许的最小值视  $r$  的大小而定, 当  $r \rightarrow \infty$  时  $a$  可以取等于无穷小。換句話說这积分仅与零点附近的行为有关。

証 根据定理 II,

$$\begin{aligned} \lim_{r \rightarrow \infty} \int_0^{\infty} B(m) J_0(mr) dm &= \lim_{r \rightarrow \infty} \left[ \int_0^a B(m) J_0(mr) dm + \int_a^{\infty} B(m) J_0(mr) dm \right] = \\ &= \lim_{r \rightarrow \infty} \int_0^a B(m) J_0(mr) dm, \end{aligned}$$

其中  $a$  为任一不等于零的正数。

其次我們再来討論  $a$  的允许的極小值的問題。从定理 I 的証明中, 由(13)和(15)式可以看出,  $m$  和  $r$  以乘积的形式存在, 如要滿足不等式(14)和(15), 我們可以加大  $m$  和  $r$ , 也能达到这一点。設当乘积  $mr$  大于某一相当大的常数  $c$  后, 不等式(14)和(15)就已满足, 如我們保持  $mr$  的乘积不变, 而增大  $r$ , 相应地我們如減小  $m$ , 此时(14)和(15)仍旧成立。我們来看一下  $m$  允許最小值的極限也就是  $a$  的允許最小值

$$\lim_{r \rightarrow \infty} m = \lim_{r \rightarrow \infty} \frac{c}{r} = 0$$

故使(14)和(15)仍旧成立,  $a$  允許的最小值, 随  $r$  的大小而定, 当  $r$  趋近无穷大时, 其極限为零, 换言之我們可以取其等于无穷小。

## 对三層電測深曲綫的分析

首先我們來分析三層電測深曲綫的右部，即當  $r$  很小時的情形。利用(1)式，無論如何我們可以將  $B_1(m)$  展開成

$$B_1(m) = q \sum b_n e^{-2m(\alpha_n h_1 + \beta_n h_2)}.$$

式中， $b_n$  為  $\rho_1, \rho_2$  的函數， $\alpha_n, \beta_n$  為正整數， $\alpha_n$  的最小值為 1。將  $B_1(m)$  代入(1)式對各項積分，代入上下限後，我們將得到：

$$U_1 = \frac{\rho_1 I}{2\pi r} + q \sum \frac{b_n}{\sqrt{(2\alpha_n h_1 + 2\beta_n h_2)^2 + r^2}}.$$

化成梯度法的視電阻率公式得：

$$\rho_K = \rho_1 + q \sum \frac{2\pi r^3 b_n}{[(2\alpha_n h_1 + 2\beta_n h_2)^2 + r^2]^{1/2}}.$$

顯然，當  $r \rightarrow 0$  時，

$$\rho_K \stackrel{r \rightarrow 0}{\rightarrow} \rho_1,$$

故視電阻率曲綫的左部，不論中間層如何，只要  $\rho_1$  相同，視電阻率曲綫不變。

其次我們再來分析視電阻率曲綫的右部，即當  $r$  很大的情形。由於  $\int_0^\infty B(m) dm$  仿照上面的証法，不難証明是存在並絕對收斂的，故應用定理 III (1)式的右邊第二項，顯然可等於

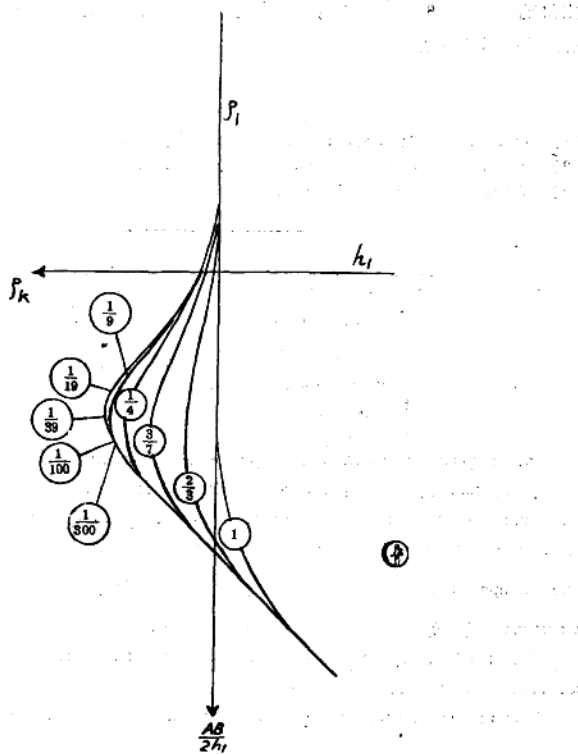
$$\int_0^\infty B_1(m) J_0(mr) dm = \int_0^a B_1(m) J_0(mr) dm.$$

其中  $a$  可以是一個任意小的正數，其條件為  $r$  必須足夠地大。這樣這積分僅限於在零點附近一小範圍內，因此  $m$  始終是零點附近一小的正數。由於  $h_2$  幾乎不是無窮大，故  $2mh_2$  也可能是一很小的數值，我們就可以忽略其高次項而將

$$e^{-2mh_2} \approx 1 - 2mh_2.$$

這樣代入  $B_1(m)$ ，如上面引言中所証明的， $B_1(m)$  仅和  $S_2$  或  $T_2$  有關。因此我們得出結論，在  $r$  足夠大時，視電阻率曲綫的形狀決定於  $S_2$  或  $T_2$ 。

至於視電阻率曲綫的中部，我們不能用解析的方法得出這關係，事實上，這關係在曲綫的中部僅在一定的範圍內適用，從下面的圖中就可以看出這一點。圖上各曲綫的  $S_2$  均等於 9，在曲綫的左右兩端恰如我們在上面所得的結果指出的一樣，是完全重合的；而在中部僅模數小於  $1/19$  的曲綫在規定誤差不超過 5% 的條件下，認為是重合的，如誤差規定為 1%，則重合的曲綫數還要減少。其他的曲綫，均最先自中部離出來。



$S_2=9$  的觀測電率曲線圖(摘自培拉耶夫量板)

## 結論

从上面的分析可以看出，三層電測深曲線當中間層很薄和當  $\rho_1 > \rho_2 < \rho_3$  或  $\rho_1 < \rho_2 > \rho_3$  时，變更中間層而保持  $S_2$  或  $T_2$  不变，仅只能保證曲線左右兩端不变，其中部仅在一定誤差範圍內方認為是不变的。由此可知  $S_2$  或  $T_2$  的相等是使曲線不变的必要条件而不是充份条件。故等值原則適用的範圍受一定的限制。

最后必須指出，在解釋上列性質的三層電測深曲線時，我們首先必須注意到實測曲

綫和理論曲綫中部的密切重合，因为上列性質曲綫可能的分別，仅只能發生在中部而且有时是很不显著的。

### 參 考 文 獻

- [1] Пылаев, А. М.: Руководство по интерпретации вертикальных электрических зондирований.
- [2] Дахнов, В. Н.: Электрическая разведка нефтяных и газовых месторождений.
- [3] Whittaker and Watson: Modern Analysis.

## ДОПОЛНЕНИЕ К ДОКАЗАТЕЛЬСТВОМ ПРИНЦИПА ЭКВИВАЛЕНТНОСТИ ДЛЯ ТРЕХСЛОЙНОГО РАЗРЕЗА

ЧЖАН КУАН-ЖЭН

Северо-Восточный геологический институт

РЕФЕРАТ

Рассматривая теоретические кривые вез трёхслойного разреза для случая  $\rho_1 > \rho_2 < \rho_3$  или  $\rho_1 < \rho_2 > \rho_3$ , легко заметить, что при относительно небольшом значении мощности второго слоя, вид кривой  $\rho_X$  определяется не величинами удельного электрического сопротивления и мощностью каждого промежуточного слоя, а продольной проводимостью  $S_2 = \frac{h_2}{\rho_2}$  (при  $\rho_1 > \rho_2 < \rho_3$ ) и поперечным сопротивлением  $T_2 = h_2 \rho_2$  (при  $\rho_1 < \rho_2 > \rho_3$ ) этого слоя.

В книге "Электрическая разведка Нефтяных и Газовых Месторождений" были аналитически доказаны эти положения.

В этом доказательстве, воспользуется эта приближенная формула

$$e^{-2m(h_1+h_2)} \approx e^{-2mh_1} e^{-2mh_2} \approx e^{-2mh_1} (1 - 2mh_2)$$

причём  $m$  в подинтегранном выражении меняется от нулю до бесконечности. Очевидно, эта приближенная формула теряет достаточное основание.

Поэтому автор дополняет этот недостаток и подтверждает выше указание справедливы лишь для большего расстояния между электродами.

# 論圓環組合爆炸在反射法地震勘探中的應用\*

馬 恩 洋

(石油工業部 北京石油地質學校 北京地質學院)

在地震勘探中，用炸藥爆炸所产生的能量，仅有一小部分可以利用。我們所需要的是彈性波能量，而炸藥爆炸的能量並不完全轉換為波能。要增加彈性波能量，从表面上看，可以用增多炸藥量的方法來得到，但是实际上，炸藥量加大，有效彈性波能量並不隨之而比例地加強，炸藥效能與炸藥量不成正比關係。

彈性波能量的多寡與振源處爆炸所生壓力的大小，壓力脈衝作用時間的長短，以及岩層的性質有關。如果維持後面兩個因素不變，即用相同性質的雷管與炸藥在同一地區同一岩層中爆炸，從經驗知道，當炸藥量超過某一限度時，有效彈性波能量即不能再行顯著增強。倘若繼續盲目增加炸藥量，除了加多雜波干擾成分外，對地震勘探毫無任何益處。

如何改善記錄質量，提高炸藥效能，這是擴大地震勘探應用範圍的一個重要問題。組合爆炸的應用無疑是目前解決這一問題的一個重要途徑。

組合爆炸的概念雖然很早就有人討論過。但一直到最近空中爆炸地震勘探方法提出後，組合爆炸方法才逐步應用於實際工作中。

地震勘探中的空中爆炸法，系首先由蘇聯地球物理學家茲維達也夫(A.A.Цветаев)<sup>[1]</sup>提出的。以後，他曾討論過水平反射層及爆炸點沿着測線安置的情況下組合爆炸應用的可能性<sup>[2]</sup>。1950年，頗而特(T. Poulter) 討論了他在幾個地區進行空中爆炸地震勘探法的實驗成果<sup>[3]</sup>。在我國，1953年石油勘探方面的一些地震隊，曾在礫石複蓋地區，黃土丘陵地帶進行過工作量頗大的實驗工作，並成功地應用在生產工作中<sup>[4]</sup>。1954及1955年，我國亦有一些地震勘探隊在鑽井困難或井中爆炸記錄成果不佳時應用組合

\* 1956年3月8日收到。

空中爆炸方法。

## 二

我国某些地震勘探队所用的组合空中爆炸法的野外布置如图1，这种安排是与顾而特文中所提出的一种布置形式相同的。爆炸点系安置成圆环形，炸药包置于圆心  $O$  及以  $O$  为圆心  $r$  为半径的圆周上，组成六个等边三角形系。七个炸药包的炸药量相同，一般为 0.2 至 5 公

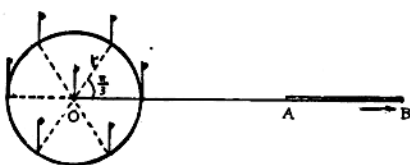


圖1 空中圓環組合爆炸的布置

斤。炸药包距地面 0.5 至 2 米，半径  $r$  为 5 至 25 米。 $AB$  为检波器的放置位置。为了免除声波在记录上所产生的干扰， $OA$  距离一般为 400 至 700 米。地震勘探队中的工作同志，曾尽力在野外可能的条件下，促使七个炸药包同时爆炸。这种组合爆炸的安置方式，亦有人称为七星圆环组合爆炸。

为了讨论方便起见，在下面的分析中，我们不妨根据上述工作布置情况，引入下列几个假设：

- 1) 各炸药包同时爆炸；
- 2) 各炸药包所发出的振动特性相同，并设振动皆为谐和振动形式，且其振幅及频率都相同；
- 3) 各炸药包发出的振动没有相互作用，振动的传播满足叠加原理。

设在地面上有置爆炸点系及检波器如图2。 $O$  为任一中心爆炸点； $O_n$  为任一以  $O$  为圆心  $r$  为半径的圆周上的爆炸点； $S$  为任一检波器。

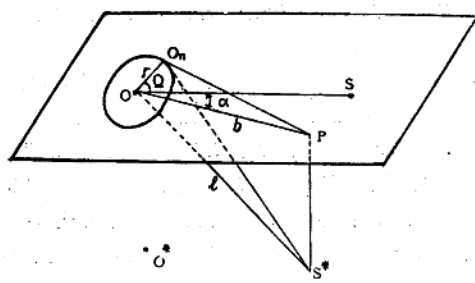


圖2 爆炸点及接收点的关系

对于任何一个反射面，在爆炸点系与接收点的范围内，我们假设它是一个平面，同时，假定反射平面至地面的地层是均匀及各向同性的，因而可以利用直射线及速度为常数的关系以简化计算手续。

根据互换原理，对于一

定層面的反射波，從爆炸點  $O$  出發的地震波經反射後至任一接收點  $S$  的震波旅行時間  $t$ ，它是與在  $S$  點爆炸而在  $O$  點接收的旅行時間相同的。這旅行時間等於爆炸點  $O$  對反射面的鏡像對稱點  $O^*$  至  $S$  點的距離與速度的比值  $\frac{O^*S}{v}$ 。 $O^*$  稱為虛爆炸點。我們假定接收點  $S$  對反射面的鏡像對稱點為  $S^*$ ，則顯然有：

$$\frac{O^*S}{v} = \frac{S^*O}{v} = t. \quad (1)$$

在本文中，我們稱  $S^*$  為虛接收點。虛接收點在地面上的投影為  $P$ 。將  $P$  聯接中心爆炸點得  $OP$ ， $OP$  與  $OS$  所張之角為  $\alpha$ （圖2）。現在，我們要確定中心爆炸點  $O$  射出的震波與任一圓周上爆炸點  $O_n$  射出震波至接收點  $S$  的旅行時差。由公式(1)可以看出，這時差是與在  $S$  點爆炸而在  $O$  及  $O_n$  接收的旅行時差相同的。類似的問題翁文波先生曾在圓周排列測深法中討論過<sup>[2]</sup>。這裡，我們亦用翁先生的方法來解決本文中所提出的問題。

由圖(2)可得：

$$\Delta t = \frac{1}{v} (OS^* - O_n S^*). \quad (2)$$

由簡單的幾何關係，我們可以將(2)式寫為：

$$\Delta t = \frac{l}{v} \left\{ 1 - \left[ 1 + \frac{r(r - 2b \cos \theta)}{l^2} \right]^{\frac{1}{2}} \right\}, \quad (3)$$

式中， $l$  為距離  $OS^*$ ，即虛接收點至中心爆炸點的距離； $v$  為速度； $r$  為爆炸點系的半徑； $b$  為中心爆炸點至虛接收點在地面投影點間的距離  $OP$ ； $\theta$  為爆炸點  $O$  及  $O_n$  之間之聯繩與  $OP$  之間的夾角。

將(3)式展開成級數得：

$$\Delta t = \frac{l}{v} \sum_{n=1}^{\infty} (-1)^n C_n^{\frac{1}{2}} \left[ \frac{r(r - 2b \cos \theta)}{l^2} \right]^n, \quad (4)$$

其中， $C_1^{\frac{1}{2}} = \frac{1}{2}$ ， $C_n^{\frac{1}{2}} = (-1)^{n-1} \frac{1 \cdot 3 \cdot 5 \cdots (2n-3)}{2 \cdot 4 \cdot 6 \cdot 8 \cdots 2n}$ ， $n=2, 3, 4, \dots$

在一般情況下，特別是利用空中爆炸或土坑爆炸方法中， $l > r$ ， $l > b > r$ ，(4)式可以近似地簡化為：

$$\Delta t = \frac{rb}{vl} \cos \theta. \quad (5)$$

(5)式表明，隨  $\theta$  角不同，各爆炸點發出的振動與中心爆炸點射出的振動在  $S$  點接收的時差亦不相同。時差  $\Delta t$  與  $\theta$  角的余弦近似地成正比例。

上述的物理意義如下：在圖(2)中，將  $OO_n$  線段投影至  $OP$  線上，則  $OO_n$  在  $OP$  線

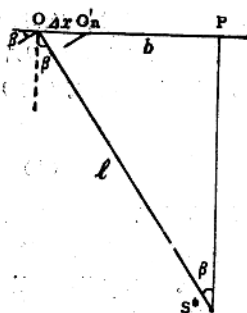


圖 3

上的投影为  $\Delta\alpha = r \cos \theta = OO_n'$ , (5)式可写为:

$$\frac{\Delta\alpha}{\Delta t} = \frac{v}{\sin \beta} = v^* \quad (6)$$

式中,  $\sin \beta = b/l$ ;  $v^*$  为在  $S$  点爆炸而在  $O$  点附近接收时, 在  $PO$  线上的表现速度;  $\beta$  为  $O$  点爆炸  $S$  点接收的反射波在振源处的射线射出角, 如图(3), 显然, 近似式(6)实系表示将  $O_n$  爆炸点移至其在  $OP$  线上的投影点  $O_n'$  爆炸, 所产生的效果相同相对应的。

### 三

上面我們曾假定, 各炸藥包所發出的振动为諧和振动, 其振幅及頻率都相同。由于旅行时间不同而引起时差, 在  $S$  点接收的各振动, 相互間將有些相位移。設在  $S$  点接收的中心爆炸点振动为:

$$E_{00} = A_0 \cos 2\pi f t, \quad (7)$$

式中  $A_0$  为振幅;  $f$  为频率,  $t$  为时间。則圓周上任一爆炸点所發出的振动, 在  $S$  点所接收到者为:

$$E_n = A_0 \cos 2\pi f (t + \Delta t_n), \quad (8)$$

$\Delta t_n$  由(6)式确定。于是, 圖 1 中, 任一圓周上六个爆炸点在  $S$  点所产生之振动为:

$$E_n = A_0 \cos 2\pi f \left( t + \frac{rb}{vt} \cos \theta_n \right), \quad (9)$$

其中

$$\theta_n = \frac{n\pi}{3} + \alpha, \quad n = 0, 1, 2, 3, 4, 5. \quad (10)$$

这样, 接收点  $S$  的总振动应为,

$$\Sigma E = A_0 \cos 2\pi f t + \sum_{n=0}^5 A_0 \cos 2\pi f \left( t + \frac{rb}{vt} \cos \theta_n \right), \quad (11)$$

用简单的三角关系化簡后得;

$$\begin{aligned} \Sigma E = A_0 \cos 2\pi f t &\left\{ 1 + 2 \cos \left( 2\pi f \frac{rb}{vt} \cos \alpha \right) + \right. \\ &+ 2 \cos \left( 2\pi f \frac{rb}{vt} \cos 60^\circ + \alpha \right) + \\ &\left. + 2 \cos \left( 2\pi f \frac{rb}{vt} \cos 120^\circ + \alpha \right) \right\}. \end{aligned} \quad (12)$$

我們定义組合爆炸的方向特性系数为組合后接收点的平均总振动与不用組合爆炸

時接收點總振動之比，則：

$$F = \frac{\Sigma E}{7E_{00}} = \frac{1}{7} \left\{ 1 + 2 \left[ \cos \left( 2\pi f \frac{rb}{vt} \cos \alpha \right) + \cos \left( 2\pi f \frac{rb}{vt} \cos 60^\circ + \alpha \right) + \right. \right. \\ \left. \left. + \cos \left( 2\pi f \frac{rb}{vt} \cos 120^\circ + \alpha \right) \right] \right\}, \quad (13)$$

$F$  為方向特性系數，這裡，爆炸點數為 7。

檢波器沿地層傾向或垂直走向放置時，虛接收點在地面的投影點  $P$  在  $OS$  線上，因此，在這種情況下  $\alpha = 0^\circ$ ，這時方向特性系數簡化為：

$$F_{\alpha=0} = \frac{1}{7} \left\{ 1 + 2 \left[ \cos \left( 2\pi f \frac{rb}{vt} \right) + 2 \cos \left( \pi f \frac{rb}{vt} \right) \right] \right\}. \quad (14)$$

我們令圓心與圓周上爆炸點的最大時差為  $\Delta t_0$ ， $\Delta t_0$  相當於在  $OP$  線上的圓周爆炸點與圓心爆炸點的時差，則

$$\Delta t_0 = \frac{rb}{vt}, \quad (15)$$

於是，(13)(14)兩式相繼可寫成：

$$F = \frac{1}{7} \left\{ 1 + 2 \left[ \cos \left( 2\pi f \Delta t_0 \cos \alpha \right) + \cos \left( 2\pi f \Delta t_0 \cos 60^\circ + \alpha \right) + \right. \right. \\ \left. \left. + \cos \left( 2\pi f \Delta t_0 \cos 120^\circ + \alpha \right) \right] \right\}, \quad (16)$$

及

$$F_{\alpha=0} = \frac{1}{7} \left\{ 1 + 2 \left[ \cos \left( 2\pi f \Delta t_0 \right) + 2 \cos \left( \pi f \Delta t_0 \right) \right] \right\}. \quad (17)$$

為了明顯地看出方向特性系數的變化情況，我們可以用圖形來表示它。令縱坐標為方向特性系數  $F$ ，橫坐標為  $f \Delta t_0 \left( \frac{\Delta t_0}{T} \right)$  的曲線形式如圖 4，其中  $T$  為周期。

從圖上可以看出，在  $\frac{\Delta t_0}{T}$  大於 0.5 時，特性曲線隨  $\alpha$  角不同而變化。這就部分地說明了為什麼在用這種類型的組合爆炸方式中，若檢波器測線不完全在傾向方向，在  $\Delta t_0$  較大時（即半徑  $r$  較大），所得的地震記錄有時

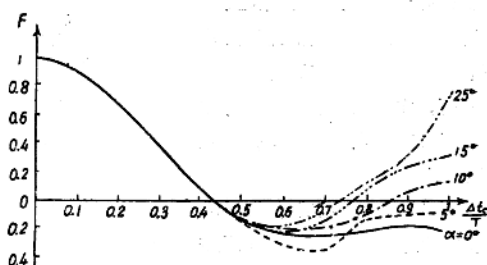


圖 4 方向特性曲線

会出现几道较好的同相轴，而在其它道上却分辨不出反射波来。在  $\frac{\Delta t_0}{T} < 0.5$  时，特性曲线随  $\alpha$  角的变化的差别并不十分显著。设若我们为了要使地震记录上的波型振幅变化不十分严重，而需要在方向特性曲线上的第一半周内追踪反射波，那么，需要方向特性系数  $F$  大于某一数  $r$ ，例如 0.7 或 0.4（顧爾維奇<sup>四</sup> И. И. Гурвич），则可得下表：

$F > 0.7$	$\frac{\Delta t_0}{T} < 0.25$
$F > 0.4$	$\frac{\Delta t_0}{T} < 0.8$

#### 四

正如顧爾維奇所指出，方向特性系数可以予以不同的意义<sup>四</sup>。如果我们令  $\Delta t_0$  为参数，则方程(16)(17)可以看作频率特性方程来解释。在给定  $\Delta t_0$  时，式(16)(17)表示谱和振动振源组合爆炸所得记录的振幅与频率的关系。或者换句话说，我们可以将组合爆炸的作用视为一种特殊的滤波器。在图(5)(6)中，我们作了在  $\alpha = 0^\circ$  时， $\Delta t_0$  为 0, 0.002, 0.005, 0.01, 0.02 及 0.04 秒的组合爆炸频率特性。因为一般反射波的基本频率都在 100 周以下，所以我们只作了 0 至 200 周范围内的频率特性曲线。

当  $\Delta t_0 = 0$ ，方向特性系数总为 1，因此，频率特性曲线是平行坐标轴的直线，这就表示在这情况下没有滤波作用存在。当  $\Delta t_0$  为 0.002 及 0.005 秒时，在反射波频率范围内，方向特性系数随频率增高而降低。这时组合爆炸的作用系滤除高频率成分而在记录上保留低频率成分，正如混波器及检波器组合的作用一样，在记录上出现较为简单化的条纹，组合爆炸的作用与低通滤波器相似。

随  $\Delta t_0$  增大，在反射波频率范围内，频率特性曲线出现由正值变为负值的情况。例如当  $\Delta t_0$  为 0.01

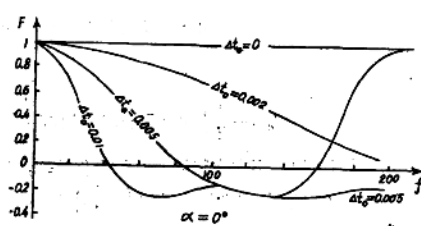


图 5  $\Delta t_0$  为 0, 0.002, 0.005 及 0.01 秒时的频率特性曲线 ( $\alpha = 0$ )

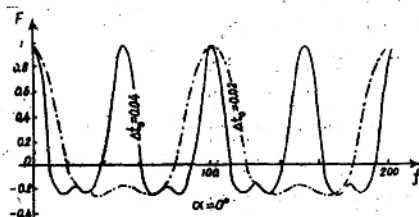


图 6  $\Delta t_0$  为 0.02 及 0.04 秒时的频率特性曲线 ( $\alpha = 0$ )

秒時， $F$  在 40 周附近由正變為負。這時在地震記錄上將會出現相位反轉，如果不加注意可能在解釋工作中發生嚴重的錯誤。特別應該注意  $\Delta t_0$  增大時，在反射波頻率範圍內出現正極大及負極大，且其頻帶很狹，頻率特性曲線斜率變化很大，這在地震記錄上反映嚴重的畸變。

比較頻率特性曲線上通過頻帶是有一定意義的。我們用頻率特性曲線上第一半周內  $F$  為 0.707 時的頻率作為通過頻帶的範圍界限。從圖(5)(6)可以獲得下表：

$\Delta t_0$ (秒)	0	0.002	0.005	0.01	0.02	0.04
$\Delta f$ (周)	$\infty$	92	40	20	10	5

$\alpha = 0^\circ$

從表中可以看出，若需 40 周範圍內的反射波在地震記錄上有明顯而無嚴重畸變的顯示，需要最大時差  $\Delta t_0$  小於 0.005 秒才能在頻率特性曲線上第一主要半周內進行追蹤。在一般情況下，反射波的基本頻率約在 60 周左右，因而約需  $\Delta t_0$  小於 0.003 秒。

現在，我們可以來討論用空中爆炸時，七星環形組合爆炸應用的可能性了。假定反射層是水平的，深度為  $h$ ，檢波器  $s$  距中心爆炸點的距離為  $x$ ，則如圖 7 显然有：

$$l = \sqrt{x^2 + (2h)^2} \quad (18)$$

檢波點  $s$  的旅行時為：

$$t = \frac{1}{v} \sqrt{x^2 + (2h)^2} \quad (19)$$

在用空中爆炸工作時，為了避免聲波在地震記錄上引起的干擾，反射波的旅行時應小於聲波的旅行時，即：

$$t = \frac{1}{v} \sqrt{x^2 + (2h)^2} < \frac{x}{v_0} \quad (20)$$

其中  $v_0$  為聲波的傳播速度。

但在另一方面，若需反射波在地震記錄上能明顯地予以追蹤並加以對比，最大時差  $\Delta t_0$  应小於某一數值  $k$ 。在上面的討論中，我們定  $k$  為 0.003 秒。

於是，在水平反射層情況下，需：

$$\Delta t_0 = \frac{rl}{vt} = \frac{rx}{v \sqrt{x^2 + (2h)^2}} < k. \quad (21)$$

(20)(21)兩式合併可得：

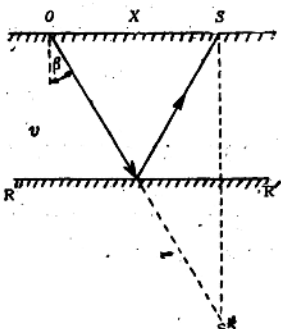


圖 7